

Curso de Métodos Numéricos I

Lista 1: Data da entrega: 29-Abril-2010

Resolva as questões abaixo:

1. A sequência $\{1/n^p\}_{n=1}^\infty$ converge para zero, se a sequência $\{\alpha_n\}_{n=1}^\infty$ converge um número α e se existe uma constante positiva K tal que

$$|\alpha_n - \alpha| \leq K \left| \frac{1}{n^p} \right| \quad \text{para } n \text{ grande ;}$$

então dizemos que $\{\alpha_n\}_{n=1}^\infty$ converge para α com uma taxa de convergência $O(n^{-p})$, indicando-se da seguinte maneira: $\alpha_n = \alpha + O(n^{-p})$.

Da mesma forma, se $\lim_{h \rightarrow 0} G(h) = 0$ e $\lim_{h \rightarrow 0} F(h) = L$ e se existe uma constante positiva K tal que

$$|F(h) - L| \leq K |G(h)| \quad \text{para } h \text{ suficientemente pequeno ;}$$

então dizemos que: $F(h) = L + O(G(h))$. Encontre a taxa de convergência de:

$$\begin{array}{ll} \text{(a)} \lim_{n \rightarrow \infty} \sin(1/n) ; & \text{(b)} \lim_{n \rightarrow \infty} \sin(1/n^2) ; \\ \text{(c)} \lim_{h \rightarrow 0} \frac{1 - \cos h}{h} ; & \text{(d)} \lim_{h \rightarrow 0} \frac{1 - \exp(h)}{h} . \end{array}$$

2. Considere os seguintes operadores:

$$\begin{aligned} \Delta y_k &= y_{k+1} - y_k \quad (\text{diferença descendente}) \\ \nabla y_k &= y_k - y_{k-1} \quad (\text{diferença ascendente}) \\ E y_k &= y_{k+1} \quad (\text{operador de deslocamento}) \\ L_1 L_2 &= \mathbf{1} \implies L_1 = L_2^{-1} \quad (L^{-1}: \text{operador inverso, } \mathbf{1}: \text{operador unitário}) \\ \delta &= E^{1/2} - E^{-1/2} \quad (\text{diferença central}) \\ \mu &= (E^{1/2} + E^{-1/2})/2 \quad (\text{operador da média}) \end{aligned}$$

Demonstre as seguintes propriedades:

$$\begin{array}{lll} \text{(a)} E = \mathbf{1} + \Delta ; & \text{(b)} E\Delta = \Delta E ; & \text{(c)} \Delta^2 = E^2 - 2E + \mathbf{1} ; \\ \text{(d)} \nabla E = E\nabla = \Delta ; & \text{(e)} E^{-1} = \mathbf{1} - \nabla ; & \text{(f)} \mu^2 = \mathbf{1} + \frac{1}{4}\delta^2 . \end{array}$$

3. Demonstre as assertivas abaixo usando indução finita:

- (a) Soma de inteiros positivos:

$$S_n = \sum_{k=1}^n k = \frac{n(n+1)}{2}$$

- (b) Soma finita de números ímpares:

$$S_n = \sum_{k=1}^n (2k-1) = n^2$$

- (c) Diferença dividida para pontos igualmente espaçados (ver livro texto: *Elementary Numerical Analysis*, S.D. Conte, C. de Boor - Seção 2.6):

$$f[x_k, \dots, x_{k+m}] = \frac{1}{m!h^m} \Delta^m f_k ; \quad \Delta^m f_k = \begin{cases} f_k & (m=0) \\ \Delta^{m-1} f_{k+1} - \Delta^{m-1} f_k & (m>0) \end{cases}$$

(d) Potência de matriz:

$$A_k^m = \begin{cases} \mu_k^{m-2} A_k^2, & \text{para } m \text{ número par } (m = 2p) \\ \mu_k^{m-1} A_k, & \text{para } m \text{ número ímpar } (m = 2p - 1) \end{cases}$$

onde A_k e μ_k são expressos por:

$$A_k = \begin{bmatrix} 0 & 1 & 0 \\ -1 & 0 & \alpha_k \\ 0 & R_F & 0 \end{bmatrix}$$

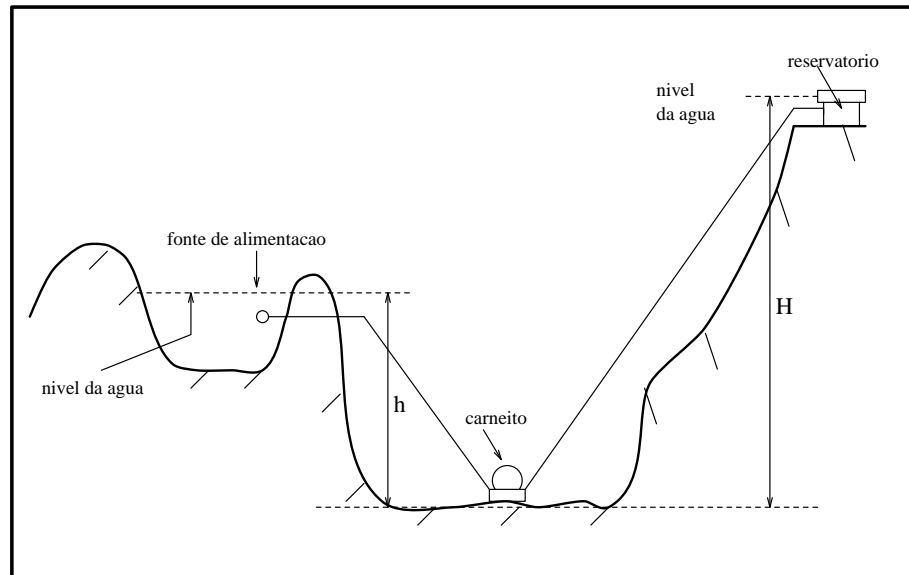
$$\mu_k^2 = R_F \alpha_k - 1; \quad \alpha_k = \frac{2}{\Delta x} [\cos(2\pi(k-1)/N_x) - 1]$$

em que R_F , Δx , N_x são constantes. A matriz acima surge da discretização em diferenças finitas de um modelo meteorológico de área limitada do tipo água-rasa¹.

4. (Ver livro texto exercício 2.2-1) Prove que:

$$f[x_0, x_1, \dots, x_n] = \sum_{i=0}^n \frac{f(x_i)}{w'(x_i)}, \quad \text{onde : } w(x) = \prod_{k=0}^n (x - x_k).$$

5. Imagine-se como consultor de uma fazenda. O fazendeiro quer construir um novo estábulo, deste modo, escolhe-se o local do empreendimento o mais próximo a uma nascente, para que, perto do estábulo, se pudesse ter também um reservatório de água. Junto a nascente é construído uma barragem e em sua base é instalado um *carneiro*², para que a água pudesse chegar ao reservatório.



Notando que:

(a) Vazão da fonte de alimentação: $Q = 30 \text{ l/min}$;

¹Ver: H.F. de Campos Velho, J.C.R. Claeysen (1997): *Computers & Mathematics with Applications*, **33**(9), 1-13.
H.F. de Campos Velho, J.C.R. Claeysen (1997): *Revista Brasileira de Meteorologia*, **12**(2), 41-50.

²*Carneiro* é um tipo de bomba d'água muito utilizada no meio rural.

- (b) Altura da queda: $h = 6$ m;
(c) Altura de recalque³: $H = 46$ m.

Desta forma a questão é: quantas vacas leiteiras poderiam ocupar o estábulo, sabendo-se que o consumo diário médio de cada vaca, somado a água gasta para o asseio do estábulo, é de 120 l.

obs 1: Para calcular a vazão de recalque (quantidade de água elevada) usa-se a fórmula:

$$q = Q \left(\frac{h}{H} \right) R$$

onde q é a vazão de recalque, Q é a vazão da fonte de alimentação, h é a altura de queda (do nível da água do reservatório até o nível do carneiro), H é a altura de recalque e R é o rendimento do carneiro.

obs 2: Para determinar o valor da vazão de recalque é necessário conhecer o rendimento do carneiro, mas: $R = R(H/h)$. Utilize a tabela abaixo para o cálculo do rendimento:

H/h	6.0	6.5	7.0	7.5	8.0	8.5	9.0
R	0.6728	0.6476	0.6214	0.5940	0.5653	0.5350	0.5029

Indique o método utilizado e justifique sua resposta.

6. (Ver livro texto exercício 2.6-8) Deduza a fórmula de diferença atrasada de Newton:

$$p_n(x_0 + sh) = \sum_{i=0}^n (-1)^i \Delta^i f_{-i} \binom{-s}{i}.$$

7. Considere a tabela a abaixo ($i = 0, 1, \dots, 6$):

x_i	1.00	1.05	1.10	1.15	1.20	1.25	1.30
$f(x_i)$	1.00000	1.02470	1.04881	1.07238	1.09544	1.11803	1.14017

O problema da **interpolação inversa** é aproximar, ou calcular, \bar{x} conhecendo-se o valor de $f(\bar{x})$. Use os dados da tabela acima para determinar \bar{x} sabendo que $f(\bar{x}) = 1,05$.

8. Um pesquisador do INPE está trabalhando na solução do seguinte sistema de equações diferenciais parciais:

$$\begin{aligned}\zeta_t + R_o (u\zeta)_x + \delta + R_\beta v' &= 0; \\ \delta_t + R_o (u\delta)_x - \zeta + R_\beta u' + \Phi_{xx} &= 0; \\ \Phi_t + R_o (u\Phi)_x - R_o u_0 v' + R_F \delta &= 0.\end{aligned}$$

Este é um sistema usado para simular um processo físico importante⁴. Aplicando operadores de diferença finita na variável espacial x (no qual: $[\zeta \ \delta] = (\partial/\partial x)[v \ u]$), transforma-se o sistema acima num sistema de equações diferenciais ordinárias, ou seja:

$$\mathbf{M} \frac{d\mathbf{X}}{dt} + \mathbf{A} \mathbf{X} + R_o \mathbf{N}(\mathbf{X}) = 0;$$

³Altura entre o carneiro e o nível da água no reservatório.

⁴Ver: LYNCH, P., 1984: *DYNAMO - A One Dimensional Primitive Equation Model*, Tech. Note No. 44, Irish Meteorological Service, Dublin.

onde $\mathbf{X} = [X_1 \ X_2 \ \dots \ X_{N_x}]^T$, $X_i = [v_{i-1/2} \ u_{i-1/2} \ \Phi_i]^T$ com $i = 0, \dots, N_x$. O vetor \mathbf{X} é chamado de vetor de estado; N_x é o número de pontos usado na malha de discretização; e, $N(\mathbf{X})$ é uma função matricial que agrupa os termos não lineares.

Uma solução para o sistema acima pode ser tentada pelo método da transformada de Laplace (TL). Assim aplicando-se a TL, o sistema acima torna-se:

$$\mathbf{X}_{n+1} = \frac{1}{2\pi i} \oint_{\Gamma} \mathbf{H}^{-1}(\lambda) [\mathbf{Z}_n - R_o N(\mathbf{X}_n) \lambda^{-1}] e^{\lambda \Delta t} d\lambda$$

onde $\mathbf{H}(\lambda) = \lambda \mathbf{M} + \mathbf{A}$, é a matriz de transferência e o subíndice n denota o tempo discretizado, isto é: $\mathbf{X}_n = \mathbf{X}(n \Delta t)$. O contorno Γ é um círculo de raio γ e considera-se os termos não lineares variando lentamente no tempo. Por último: $\mathbf{Z} = \mathbf{M} \mathbf{X}$.

A integral de contorno aparecendo na equação *transformada* pode ser calculada a partir de uma regra de quadratura, em que o círculo é aproximado por um polígono regular inscrito de lados $\Delta\lambda_k$, ou seja

$$\oint_{\Gamma} F(\lambda) d\lambda \simeq \frac{1}{\sigma} \sum_{k=1}^{N_\lambda} F(\lambda_k) \Delta\lambda_k$$

onde os pontos λ_k são pontos centrais do lado do polígono; e $\sigma = \tan(\pi/N_\lambda)/(\pi/N_\lambda)$, é um fator de correção de polígono. Desta forma uma das principais dificuldades desta técnica reside no cálculo das N_λ inversas $\mathbf{H}(\lambda)$.

O pesquisador em questão, sabendo do seu treinamento em métodos numéricos, o requisitou para escrever uma rotina capaz de calcular as N_λ inversas requeridas pelo problema.

A matriz de transferência $\mathbf{H}(\lambda)$ (uma matriz quase tri-diagonal por blocos⁵) é dada por

$$\mathbf{H}(\lambda) = \begin{bmatrix} L_1 & L_2 & & L_3 \\ L_3 & L_1 & L_2 & \\ & L_3 & L_1 & L_2 \\ & \vdots & \vdots & \vdots \\ & & L_3 & L_1 & L_2 \\ L_2 & & & L_3 & L_1 \end{bmatrix} \quad L_1 = \begin{bmatrix} \left(-\frac{\lambda}{\Delta x} + \frac{1}{2}R_\beta\right) & -\frac{1}{\Delta x} & 0 \\ \frac{1}{\Delta x} & \left(-\frac{\lambda}{\Delta x} + \frac{1}{2}R_\beta\right) & -\frac{2}{\Delta x^2} \\ 0 & -\frac{R_F}{\Delta x} & \lambda \end{bmatrix};$$

$$L_2 = \begin{bmatrix} \left(\frac{\lambda}{\Delta x} + \frac{1}{2}R_\beta\right) & \frac{1}{\Delta x} & 0 \\ -\frac{1}{\Delta x} & \left(\frac{\lambda}{\Delta x} + \frac{1}{2}R_\beta\right) & \frac{1}{\Delta x^2} \\ 0 & -\frac{R_F}{\Delta x} & 0 \end{bmatrix}; \quad L_3 = \begin{bmatrix} 0 & 0 & 0 \\ 0 & 0 & \frac{1}{\Delta x^2} \\ 0 & 0 & 0 \end{bmatrix};$$

sendo os parâmetros adimensionais:

$$R_o = 0.10; \quad R_\beta = 10; \quad R_F = 0.16;$$

e os parâmetros de discretização:

$$N_x = 5; \quad \Delta x = 0.5; \quad N_\lambda = 4.$$

Desta forma obtém-se os seguintes valores para λ_k (com $\gamma = 1$):

⁵A matriz $\mathbf{H}(\lambda)$ tem uma estrutura denominada *Bloco-Circulante* do tipo $(N_x, 3)$, imposta pelas condições de contorno adotadas (periódicas).

k	λ_k
0	$1.00000 + 0.00000 \text{ i}$
1	$0.70711 + 0.70711 \text{ i}$
2	$0.00000 + 1.00000 \text{ i}$
3	$-0.70711 + 0.70711 \text{ i}$
4	$-1.00000 + 0.00000 \text{ i}$

9. Considere a seguinte equação de Poisson uni-dimensional e as seguintes condições de contorno

$$\frac{d^2 \phi}{dx^2} + 2 = 0, \quad x \in (0, 1); \quad \text{condições de contorno: } \phi(0) = \phi(1) = 0.$$

Condirerando a aproximação de diferença finita central:

$$\frac{d^2 \phi}{dx^2} \approx \frac{\Phi_{i+1} - 2\Phi_i + \Phi_{i-1}}{\Delta x^2}$$

sendo $N_x \Delta x = 1$, $\Phi_i = \Phi(x_i)$, $x_i = x_0 + i \Delta x$. Aplicando o operador de diferenças finitas, a equação diferencial de 2a. ordem acima pode ser re-escrita como um sistema de equações algébricas lineares: $A \Phi = b$, isto é:

$$\begin{bmatrix} -2 & 1 & & & & \\ 1 & -2 & 1 & & & \\ & 1 & -2 & 1 & & \\ & & \vdots & \vdots & \vdots & \\ & & & 1 & -2 & 1 \\ & & & & 1 & -2 \end{bmatrix} \begin{bmatrix} \Phi_1 \\ \Phi_2 \\ \Phi_3 \\ \vdots \\ \Phi_{N_x-2} \\ \Phi_{N_x-1} \end{bmatrix} = -2 \Delta x^2 \begin{bmatrix} 1 \\ 1 \\ 1 \\ \vdots \\ 1 \\ 1 \end{bmatrix}$$

Resolva o sistema acima, comparando com o resultado com a solução analítica, com $N_x = 64$ pelos seguintes métodos:

- Método direto da eliminação Gaussiana ou decomposição LU (justifique sua escolha).
- Método iterativo de Jacobi.
- Método iterativo de Gauss-Seidel.
- Método iterativo de Gauss-Seidel com sobre relaxação – qual o ω ótimo?

Para os métodos iterativos considere o valor $\varepsilon = 10^{-5}$ para o critério de parada. Faça um gráfico do erro em função do número de iterações. Qual o método iterativo mais eficiente?

10. Um engenheiro do grupo de ciências térmicas do INPE, está tentando resolver o seguinte problema de transferência de calor estacionária numa placa plana ($20\text{cm} \times 10\text{cm}$):

REGIAO CONSIDERADA:

$$\begin{array}{cccccccccccc} & & & & & \text{(I)} & & & & & & \\ & & & & & 1 & 2 & 3 & 4 & 5 & 6 & 7 & 8 & 9 & 10 & 11 \\ \text{(II)} & 1 & * & . & . & . & . & . & . & . & . & . & . & . & . & * \\ & 2 & . & . & . & . & . & . & . & . & . & . & . & . & . & \\ & 3 & . & . & . & . & . & . & . & . & . & . & . & . & . & \text{(III)} \\ & 4 & . & . & . & . & . & . & . & . & . & . & . & . & . & \\ & 5 & . & . & . & . & . & . & . & . & . & . & . & . & . & \\ & 6 & * & . & . & . & . & * & . & . & . & . & . & . & * & \\ & & & & & \text{(IV)} & & & & & & \text{(V)} & & & & \end{array}$$

CONDICOES DE CONTORNO:

SUPERFICIE (I) : Conveccao (TG,HG)
 SUPERFICIE (II) : Placa isolada (fluxo nulo de calor)
 SUPERFICIE (III): Placa isolada
 SUPERFICIE (IV) : Placa isolada
 SUPERFICIE (V) : Conveccao (TL,HL)

Matematicamente o problema é modelado da seguinte forma:

$$\frac{\partial^2 T}{\partial x^2} + \frac{\partial^2 T}{\partial y^2} = 0 \quad 0 < x < 0.2 \text{ e } 0 < y < 0.1$$

com as seguintes condições de contorno:

$$\begin{aligned} -k \partial T(x, 0) / \partial y &= h_g (T_g - T(x, 0)) & [0 < x < 0.2] : & \text{superf. I} \\ -k \partial T(0, y) / \partial x &= 0 & [0 < y < 0.1] : & \text{superf. II} \\ -k \partial T(0.1, y) / \partial x &= 0 & [0 < y < 0.1] : & \text{superf. III} \\ -k \partial T(x, 0.1) / \partial x &= 0 & [0 < x < 0.1] : & \text{superf. IV} \\ -k \partial T(x, 0.1) / \partial y &= h_g (T_g - T(x, 0)) & [0.1 < x < 0.2] : & \text{superf. V} \end{aligned}$$

Este é um problema de certa dificuldade para se determinar uma solução analítica. A opção do engenheiro é então, conseguir uma solução aproximada, discretizando a equação diferencial parcial acima. O engenheiro usa o *método dos volumes finitos*⁶ para determiná-la. Aplicando os operadores de discretização chega-se ao seguinte problema:

$$AT = C$$

onde A é a matriz resultante da discretização, C é um vetor de termos constantes (condições de contorno) e T é a temperatura aproximada, dada conforme o campo mostrado abaixo

$$\begin{array}{cccccccccccc} T_1 & T_2 & T_3 & T_4 & T_5 & T_6 & T_7 & T_8 & T_9 & T_{10} & T_{11} \\ T_{12} & T_{13} & T_{14} & T_{15} & T_{16} & T_{17} & T_{18} & T_{19} & T_{20} & T_{21} & T_{22} \\ T_{23} & T_{24} & T_{25} & T_{26} & T_{27} & T_{28} & T_{29} & T_{30} & T_{31} & T_{32} & T_{33} \\ T_{34} & T_{35} & T_{36} & T_{37} & T_{38} & T_{39} & T_{40} & T_{41} & T_{42} & T_{43} & T_{44} \\ T_{45} & T_{46} & T_{47} & T_{48} & T_{49} & T_{50} & T_{51} & T_{52} & T_{53} & T_{54} & T_{55} \\ T_{56} & T_{57} & T_{58} & T_{59} & T_{60} & T_{61} & T_{62} & T_{63} & T_{64} & T_{65} & T_{66} \end{array}$$

desta forma o problema é: resolver o sistema de 66 equações com 66 temperaturas desconhecidas (é óbvio que A é uma matriz de ordem 66×66).

Como o sistema é relativamente grande ($N > 50$); e a matriz gerada pela discretização é **esparsa** o método de Gauss-Seidel parece ser o mais indicado. Para ajudar o engenheiro entra em ação a equipe de Métodos Numéricos da CAP, que deve fornecer ao engenheiro uma rotina com este método de solução de sistemas de equações lineares.

O engenheiro fornece os seguintes dados:

$$P_1 = k(\Delta x / \Delta y) \quad P_2 = k(\Delta x / \Delta y) \quad P_g = h_g \Delta x \quad P_L = h_L \Delta x$$

Use $T_g = 2000.0$ e $H_g = 1000.0$; $T_L = 60.0$ e $H_L = 8000.0$; a condutividade térmica do sólido é $k = 5.0$. Para parâmetros do código use como tolerância $\epsilon = 0.01$; e como número máximo de iterações $N_{max} = 500$.

Os parâmetros de discretização são: $\Delta x = 0.02$ e $\Delta y = 0.02$. **Todos os parâmetros usados estão em unidades consistentes.**

⁶Consulte: M.N. Özışık, 1985: *Heat Transfer: A Basic Approach*, Ed McGraw-Hill.

```

C*****
C*
C*          CODIGO      ALGTC01
C*.....*
C*
C*  Programa para resolver equacao do calor bidimensional, sem fontes, *
C* de condutividade constante, em estado estacionario, o que equivale a *
C* resolver o seguinte sistema matricial:
C*
C*          A.T = C
C*
C* onde A matriz dos coeficientes, T vetor incognita, C vetor constante. *
C*
C*****
C
      P1 = RK*(DX/DY)
      P2 = RK*(DY/DX)
      PG = HG*DX
      PL = HL*DX
C
C  MONTAGEM DA MATRIZ DOS COEFICIENTES
C
C 2. ACOPLAMENTO DAS CONDICOES DE CONTORNO
C 2.1 SUPERFICIE (I)
      DO 30 J = 2,10
          A(J,J-1) = - P2/2.0
          A(J,J)   = P1+P2+PG
          A(J,J+1) = - P2/2.0
          A(J,J+11) = - P1
      30  CONTINUE
C
C 2.2 SUPERFICIE (II)
      DO 40 J = 12,45,11
          A(J,J-11) = - P1/2.0
          A(J,J)    = P1+P2
          A(J,J+1)  = - P2
          A(J,J+11) = - P1/2.0
      40  CONTINUE
C
C 2.3 SUPERFICIE (III)
      DO 50 J = 22,55,11
          A(J,J-11) = - P1/2.0
          A(J,J-1)  = - P2
          A(J,J)    = P1+P2
          A(J,J+11) = - P1/2.0
      50  CONTINUE
C
C 2.4 SUPERFICIE (IV)
      DO 60 J = 57,60
          A(J,J-11) = - P1
          A(J,J-1)  = - P2/2.0
          A(J,J)    = P1+P2
          A(J,J+1)  = - P2/2.0
      60  CONTINUE
C
C 2.5 SUPERFICIE (V)

```

```

DO 70 J = 62,65
  A(J,J-11) = - P1
  A(J,J-1) = - P2/2.0
  A(J,J) = P1+P2+PL
  A(J,J+1) = - P2/2.0
70 CONTINUE
C
C 2.6 VERTICES DO CONTORNO (pontos 1,11,56,61,66)
  A(1,1) = (P1+P2+PG)/2.0
  A(1,2) = - P2/2.0
  A(1,12) = - P1/2.0
C
  A(11,10) = - P2/2.0
  A(11,11) = (P1+P2+PG)/2.0
  A(11,22) = - P1/2.0
C
  A(56,45) = - P1/2.0
  A(56,56) = (P1+P2)/2.0
  A(56,57) = - P2/2.0
C
  A(61,50) = - P1
  A(61,60) = - P2/2.0
  A(61,61) = P1+P2+(PL/2.0)
  A(61,62) = - P2/2.0
C
  A(66,55) = - P1/2.0
  A(66,65) = - P2/2.0
  A(66,66) = (P1+P2+PL)/2.0
C
C**** FIM DO ACOPLAMENTO DAS CONDICÕES DE CONTORNO
C
C 3. PONTOS INTERIORES DA MALHA
  DO 80 J = 13,54
    IF(((J-1)/11)*11.EQ.(J-1)) GOTO 80
    IF((J/11)*11.EQ.J) GOTO 80
    A(J,J-11) = - P1
    A(J,J-1) = - P2
    A(J,J) = (P1+P2)*2.0
    A(J,J+1) = - P2
    A(J,J+11) = - P1
80 CONTINUE
C
C**** FIM DA MONTAGEM DA MATRIZ DOS COEFICIENTES
C
C MONTAGEM DO VETOR CONSTANTE
  DO 100 J = 2,10
    C(J) = PG * TG
    IF(J.GT.5) GOTO 100
    C(N-J+1) = PL * TL
100 CONTINUE
  C(1) = (PG*TG)/2.0
  C(11) = C(1)
  C(61) = (PL*TL)/2.0
  C(66) = C(61)
C
C**** FIM DA MONTAGEM DO VETOR CONSTANTE

```